

## 論 文

# 複合 clutter에 대한 MTI信號處理器의 性能 比較方法에 관한 研究

正會員 具 然 健\* 正會員 金 斗 根\*\*

## A Study on the Performance Comparison Method of MTI Signal Processors Against Composite Clutter

Yeon Geon KOO \*and Doo Keun KIM \*\*, Regular Members

**要 約** 複合 clutter에 대한 MTI信號處理器의 性能은 clutter spectrum의 電力密度函數뿐 아니라 각 clutter의 平均 래이다斷面積 및 平均 도플러周波數에 따라서도 달라진다. 본 論文에서는 地上 clutter나 氣象 clutter와 같이 서로 다른 特性을 갖는 clutter에 의해서 複合的으로 MTI信號處理器의 性能에 미치는 影響을 MTI改善因子로 比較, 平倣할 수 있는 方法을 提示하였다.

**ABSTRACT** The performance of MTI signal processors against composite clutter depends not only on the power density functions of the clutter spectrum, but also on the average radar cross sections and the average doppler frequencies of each clutter. In this paper the effect of composite clutter composed of different kinds of clutter such as ground and weather on the MTI signal processors, is compared in terms of MTI improvement factors and the method of comparison is provided.

### 1. 序 論

클러터가 MTI信號處理器에 미치는 影響은 클러터의 特性에 따라 달라진다. 일반적으로 地上 clutter에서는 平均 도플러周波数를 零으로 간주 할 수 있으나 비, 우박 등 어떤 平均 速度를 갖는 氣象 clutter에 대해서는 平均 도플러周波数 成分을 고려하여야 한다<sup>(1, 2)</sup>.

本 論文에서는 地上 clutter와 氣象 clutter로 構成되는 複合 clutter에 대하여 각 clutter의 平均 래

이다斷面積(average radar cross section)과 平均 도플러周波数(average doppler frequency)의 變化에 따른 MTI信號處理器의 性能 變化를 MTI改善因子(improvement factors)로 比較, 平倣할 수 있는 方法을 提示하고자 한다.

### 2. MTI改善因子의 誘導

레이다의 送信 펄스反復周期(pulse repetition period)를 T라고 하면 레이다 클러터 反響信號(echo)의 共變函數  $R(T)$  는

$$R(T) = \sigma_c \int_{-\infty}^{\infty} S(f) \exp(j 2 \pi f T) df \quad (1)$$

가 된다<sup>(2)</sup>. 여기서  $\sigma_c$ 는 클러터의 平均 래이다斷面

\* \*\*\* 弘益大學校電子工學科

Dept. of Electronic Engineering Hongik University,  
Seoul, 121 Korea.

論文番號: 85-12 (接受: 1985. 2. 5)

積이고,  $S(f)$ 는 clutter 스펙트럼의 電力密度函數이다. 레이다의 反響信號는 地上 clutter와 氣象 clutter를 複合的으로 포함하고 있다고假定하고 地上 clutter에 대해서는 平均 도플러 周波數를零으로 보고 標準偏差만 고려하였으며 氣象 clutter에 대해서는 平均도플러 周波數와 平均 레이다 斷面積을 모두 고려하였다. 두 clutter에 의한 프로세스는 서로 獨立的이고, 非相関 無作為 프로세스라고 하면 이러한 複合 clutter에 의한 共變函數  $R_c(T)$ 는

$$R_c(T) = \sigma_{cg} \int_{-\infty}^{\infty} S_g(f) \exp(j2\pi fT) df + \sigma_{cw} \int_{-\infty}^{\infty} S_w(f) \exp(j2\pi fT) df \quad (2)$$

가 된다<sup>(2)</sup>. 여기서  $\sigma_{cg}$ ,  $S_g(f)$ 와  $\sigma_{cw}$ ,  $S_w(f)$ 는 각각 地上 clutter와 氣象 clutter의 平均 레이다 斷面積과 電力스펙트럼 密度函數이다.

MTI信號處理器에서  $K$ 개의 레이다 필스가 샘플되어 처리된다고 보면, 複合 clutter의 共變行列  $M_c$ 는

$$M_c = \sigma_{cg} \int_{-\infty}^{\infty} S_g(f) BB^H df + \sigma_{cw} \int_{-\infty}^{\infty} S_w(f) BB^H df \quad (3)$$

로 表示할 수 있으며, 行例  $B$ 의 Hermitian 共軛(共軛 轉置) 行例  $B^H = [1, e^{j2\pi fT}, \dots, e^{j2\pi(K-1)fT}]$ 이다. 따라서 MTI信號處理器를 橫斷필터(Transversal filter)로 모델화하였을 때 加重벡터(weight vector)를  $W$ 라 하면 出力電力의 期待值  $P_o$ 는<sup>(3)</sup>

$$\begin{aligned} P_o &= W^H M_c W \\ &= \sigma_{cg} \int_{-\infty}^{\infty} S_g(f) W^H BB^H W df + \sigma_{cw} \int_{-\infty}^{\infty} S_w(f) W^H BB^H W df \\ &= \sigma_{cg} \int_{-\infty}^{\infty} S_g(f) |H(f)|^2 df + \sigma_{cw} \int_{-\infty}^{\infty} S_w(f) |H(f)|^2 df \end{aligned} \quad (4)$$

가 되고, 여기서  $H(f) = W^H B$ 이다.

MTI도 플러프로세서에서 複合 clutter에 대한 出力  $C_{co}$ 는<sup>(4)</sup>

$$\begin{aligned} C_{co} &= \sigma_{cg} \sum_{p=-K-1}^{K-1} \mu_p \phi_{pg} + \sigma_{cw} \sum_{p=-K-1}^{K-1} \mu_p \phi_{pw} \\ &= \sum_{p=-K-1}^{K-1} \mu_p (\sigma_{cg} \phi_{pg} + \sigma_{cw} \phi_{pw}) \end{aligned} \quad (5)$$

라고 할 수 있으며, 여기서  $\mu_p$ 는 MTI信號處理器에서 電力 傳達函數의 푸리에(fourier)係數로서 正規化된 最大 도플러 周波數  $F$ 에 대하여

$$\mu_p = \frac{1}{F} \int_0^F |H(f)|^2 \exp(-j2\pi pfT) df \quad (6)$$

이다. 또  $\phi_{pg}$ 는 地上 clutter의 共變行例로서

$$\phi_{pg} = \int_{-\infty}^{\infty} S_g(f) \exp(j2\pi pfT) df \quad (7)$$

이고,  $\phi_{pw}$ 는 氣象 clutter의 共變行列로서

$$\phi_{pw} = \int_{-\infty}^{\infty} S_w(f) \exp(j2\pi pfT) df \quad (8)$$

와 같이 地上 clutter와 氣象 clutter의 電力密度 스펙트럼을 각각 푸리에 變換한 것으로 表示된다.

MTI信號處理器의 入力 clutter 電力  $C_{ci}$ 는 式(7), (8)에서

$$\begin{aligned} C_{ci} &= \sigma_{cg} \int_{-\infty}^{\infty} S_g(f) df + \sigma_{cw} \int_{-\infty}^{\infty} S_w(f) df \\ &= \sigma_{cg} \phi_{og} + \sigma_{cw} \phi_{ow} \end{aligned} \quad (9)$$

가 된다.

平均 標的信號 出力  $\bar{S}_o$ 는 平均 標的信號 入力  $\bar{S}_i$ 에 대하여

$$\bar{S}_o = \frac{1}{F} \int_0^F \bar{S}_i |H(f)|^2 df \quad (10)$$

이므로 式(6)에서 平均 標的信號의 利得(gain)  $\bar{S}_o / \bar{S}_i$ 는

$$\bar{S}_o / \bar{S}_i = \mu_o \quad (11)$$

가 된다.

MTI信號處理器의 入力端에서의 信號對 clutter 比( $\bar{S}_i / C_{ci}$ )에 대한 出力端에서의 信號對 clutter

比( $\bar{S}_o/C_{co}$ )로 표시되는 MTI改善因子(MIF)는<sup>(1,4)</sup>複合濾波器에 대하여

$$\begin{aligned} MIF &= \frac{\bar{S}_o/C_o}{\bar{S}_i/C_i} = \left( \frac{\bar{S}_o}{S_i} \right) \left( \frac{C_i}{C_o} \right) \\ &= \frac{\mu_o (\sigma_{cg}\phi_{oc} + \sigma_{cw}\phi_{ow})}{\sum_{p=-K-1}^K \mu_p (\sigma_{cg}\phi_{pc} + \sigma_{cw}\phi_{pw})} \quad (12) \end{aligned}$$

로 주어진다.

### 3. 클러터 모델과 MIF計算

본論文에서는 地上濾波器와 氣象濾波器의 電力스펙트럼 密度函數를 모두 Gaussian形態로 가정하였으며,

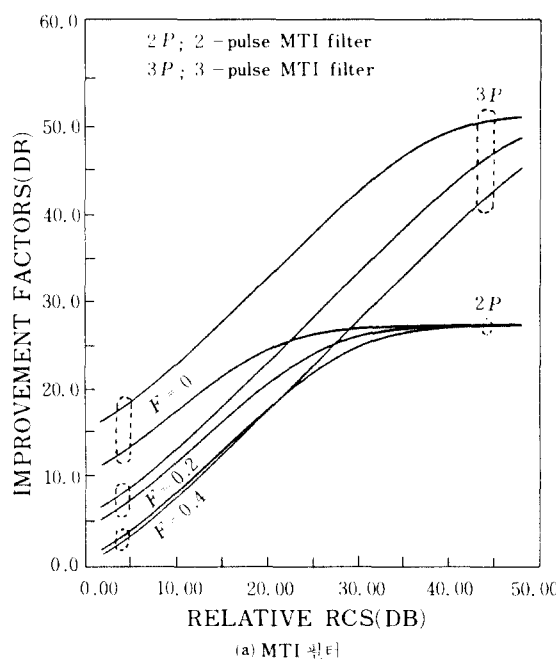
- i) 地上濾波器에 대해서는 平均 도플러 周波數를 零으로 보고, 濾波器 스펙트럼의 標準偏差만 고려하였다.
- ii) 氣象濾波器에 대해서는 平均 도플러 周波數와 濾波器 스펙트럼의 標準偏差를 모두 고려하였다.
- iii) 標準偏差  $\sigma$ 는 濾波器反復周波數  $f_r (= 1/T)$ 에 대하여 正規化하였으며 각濾波器의 特性을 고려하여 地上濾波器에 대해서는  $\sigma T = 0.01$ ,

氣象濾波器에 대해서는  $\sigma T = 0.10$ 으로 設定했다.

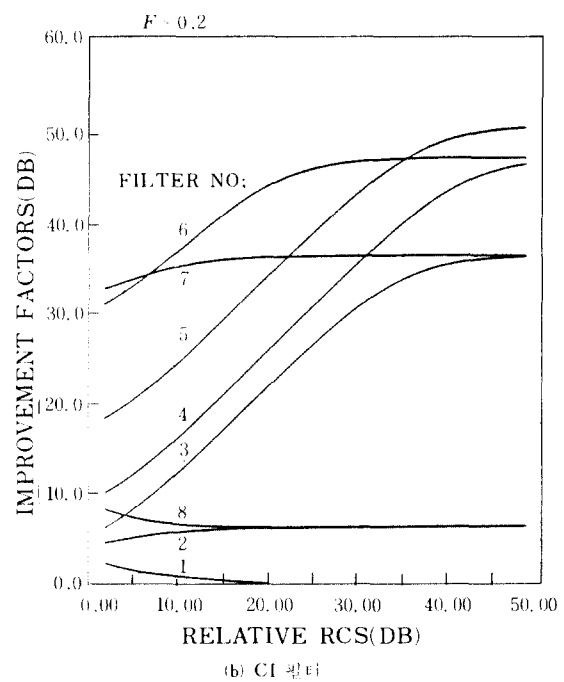
MTI改善因子(MIF)의 計算은 MTI濾波器, CI(coherent integrator)濾波器 및 MTI濾波器와 CI濾波器를 從屬接續한 MTD처리기로 구분하여,

- i) MTI濾波器는 Binomial Weighting으로
- ii) CI濾波器는 8-필즈, Hanning Weighting인 경우로 산수하고 比較하여 例示하였다.
- iii) 式(12)의 計算은 地上濾波器에 대해서 算出했던 線차와 동일하게 수행하였다<sup>(4)</sup>

그림 1(a)~(d)는 地上濾波器에 대한 氣象濾波器의 레이다斷面積比( $\sigma_{cg}/\sigma_{cw}$ )를 變化시켜 MIF를 算出하여 圖示한 것이다. 그림 1(a)는 필즈反復周波數  $f_r$ 에 대하여 正規化한 平均 도플러周波數  $F$ 가  $F = 0, 0.2, 0.4$ 인 경우에 2-필즈 MTI濾波器와 3-필즈 MTI濾波器에 대하여 圖示한 것이다. 레이다斷面積의 比가 增加할수록 MIF도 增加하는 것을 알 수 있다. 반면에 그림 1(b)의 CI濾波器인 경우는 濾波器No. 7과 같이 레이다斷面積의 變化에도 불구하고 MIF  $> 30dB$ 으로 비교적 良好한 特性을 나타낸다. 그림 1(c)와 (d)는 9-필즈 MTD처리기와 10-필즈 MTD처리기에 대하여 圖示한 것이며 CI濾波器보다 우수한 特性을



(a) MTI濾波器  
MTI filter.



(b) CI濾波器  
CI filter.

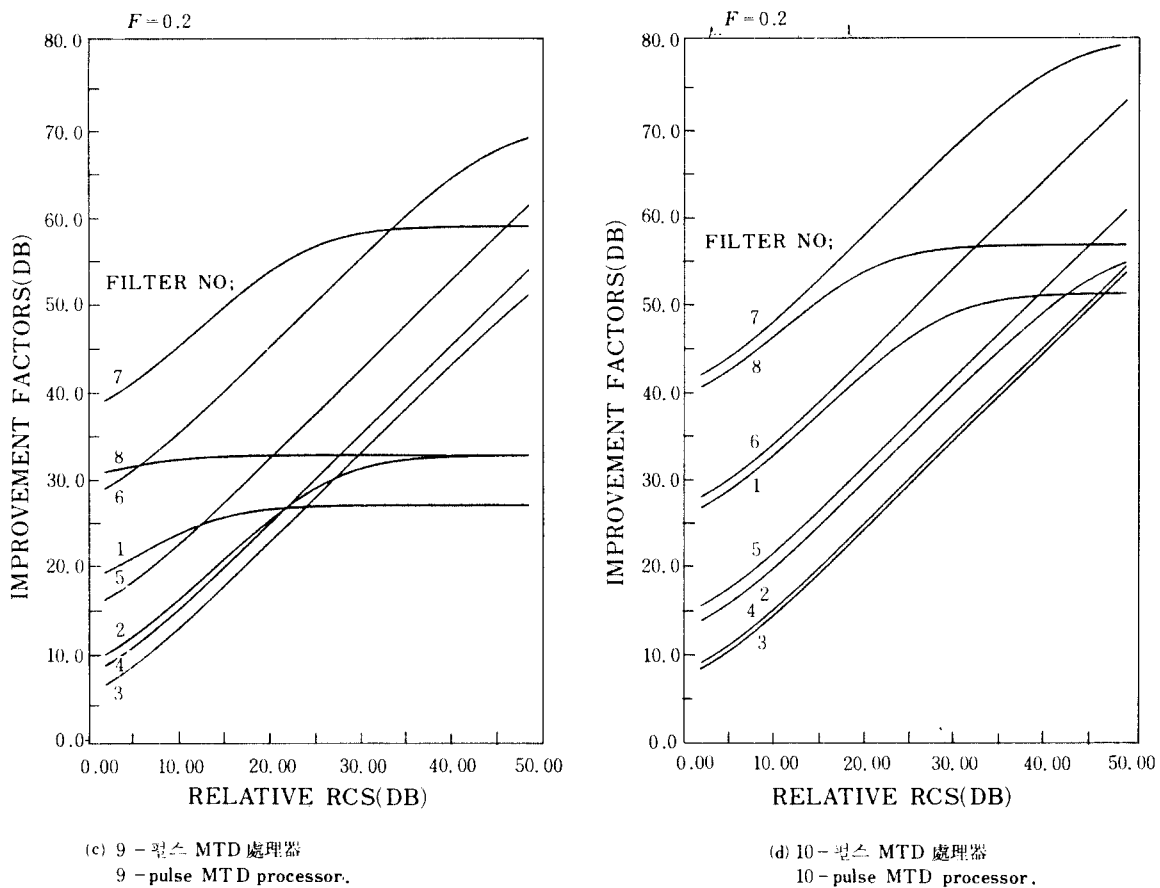


그림 1 相對的인 레이다斷面積變化에 따른 MIF變化  
MIF variation versus relative Radar Cross Section(RCS).

나타내는 것을 알 수 있다.

그림 2(a)~(d)는 平均 도플러周波數의 變化에 따른 MTI 필터, CI 필터, MTD處理器의 MIF 變化를 보인 것이다. 그림 2(a)는 클러터의 레이다斷面積比  $R$  가  $R = 0, 20, 40\text{dB}$ 인 경우이고, 그림 2(b)(c)(d)는 모두  $R = 20\text{dB}$ 인 경우에 대하여 圖示한 것이다. 여기서 MTI 필터는 平均 도플러周波數가 零일때 最大 MIF 값을 나타내며 앞에서 考察한 바와같이 클러터의 레이다斷面積比  $R$  가 증가할수록 MIF는 改善된다. 그런데 그림 2(b)의 CI 필터에서는 最大 MIF는 平均 도플러周波數가 零인 데서 나타나지만 펄스反復 周波數 ( $1/T$ )에 대해서 正規化된 平均 도플러周波數  $F$ 가  $F > 0.2$ 까지  $\text{MIF} > 40\text{dB}$ 으로 良好한 特성을 나타내고,  $0.2 < R < 0.5$ 에서도  $\text{MIF} > 30\text{dB}$ 으로 MIT 필터와 比較하여 우수한 性能을 나타

낸다. 그림 2(c)와 (d)의 9-pulse形 MTD處理器와 10-pulse形 MTD處理器는 MTI 필터나 CI 필터에 비하여 平均 도플러周波數의 變化에 더욱 우수한 MIF特性을 나타낸다. 특히 10-pulse形 MTD處理器는 正規化된 平均 도플러周波數  $F$ 가  $F = 0.5$ 까지  $\text{MIF} > 50\text{dB}$ 으로 平均 도플러周波數의 變化에 最適特性을 갖고 있음을 알 수 있다.

#### 4. 結論

地上 clutter와 氣象 clutter의 複合 clutter가 MIF信號處理器의 性能에 미치는 影響을 比較할 수 있는 方法을 提示하였다. MTI信號處理器의 性能은 clutter 스펙트럼의 電力密度函數의 標準偏差뿐 아니라 複合 clutter에 대해서는 각 clutter의 레이다斷面積과 平均 도플러周波數에 따라서도

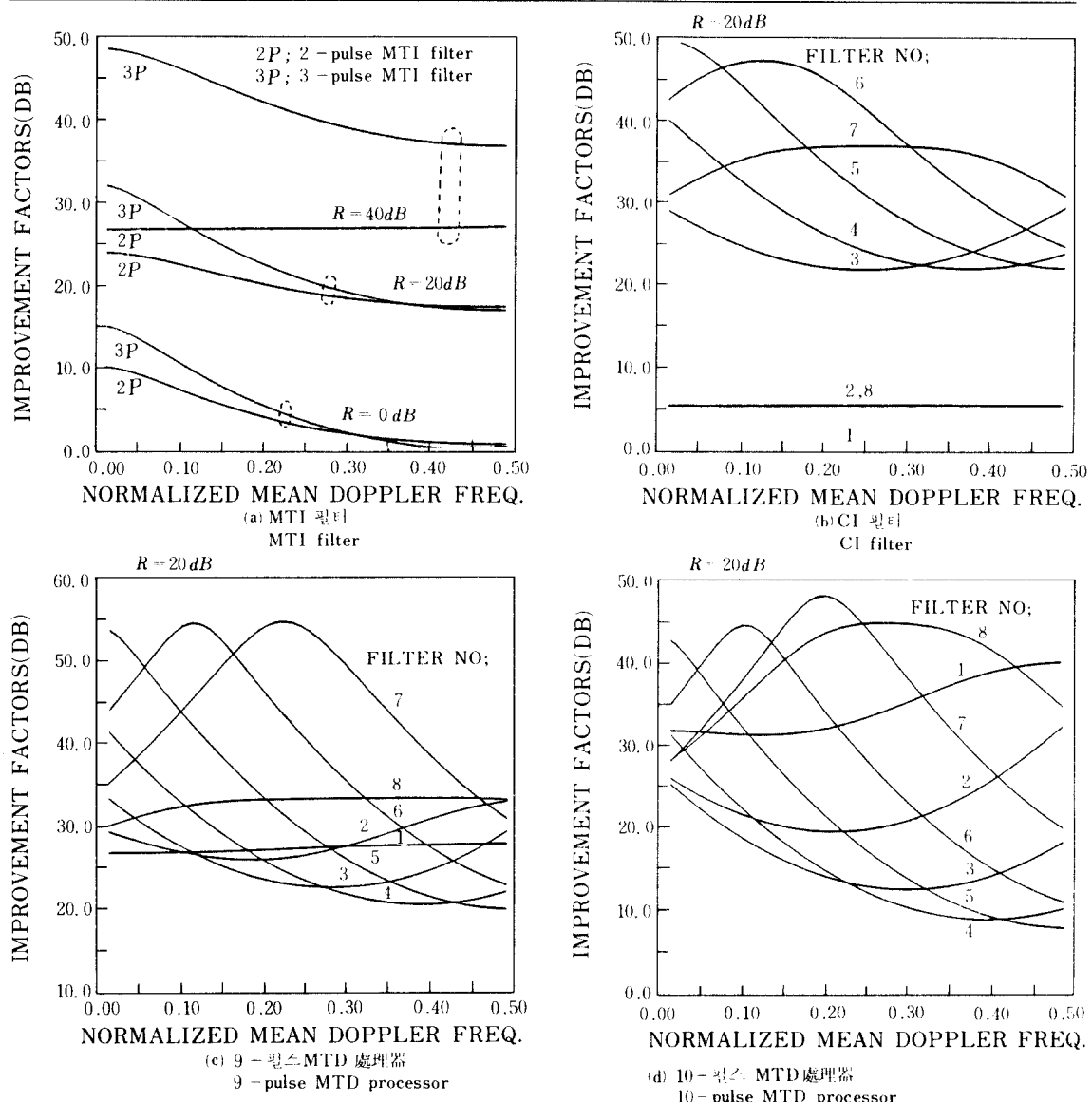


그림 2 相對의 평균도플러周波數變化에 따른 MIF變化  
MIF variations versus relative mean doppler frequencies.

MIF가 变化하는 것을 알 수 있었다. MTI 필터는 氣象클러터가 많아지거나 平均 도플러周波數가 增加하면 MIF가 감소하지만 CI필터 에서는 氣象클러터에 좋은 效果를 나타내는 것을 알 수 있었다. MTD處理器를 使用하면 氣象클러터 除去에 더욱 좋은 效果를 나타내며 특히 10-펄스 MTD處理器에서는 平均 도플러周波數의 变化에 관계없이 50dB이상 높은 MIF를 얻을 수 있는 것을 알 수 있었다.

## 参考文献

- (1) Fred E. Nathanson, "Radar design principles," New York McGraw-Hill, Inc. 1969.
- (2) J. K. Hsiao, "MTI optimization in a multiple-clutter environment," IEEE Trans Aerospace and Electronic Systems, vol. AES - 12, no. 3, pp. 401 - 405, May. 1976.
- (3) J. K. Hsiao, "On the optimization of MTI clutter rejection," IEEE Trans. Aerospace and Electronic Systems vol. AES - 10, no. 5, pp. 622 - 629, Sept. 1974.
- (4) 具然健, 金斗根, "地上클러터에 대한 MTI信號處理器의 性能比較 方法에 관한 研究," 韓國通信學會誌, 同號, 1985.